



# БИООРГАНИЧЕСКАЯ ХИМИЯ

том 5 \* № 1 \* 1979

УДК 547.853.07

## СИНТЕЗ И ИЗУЧЕНИЕ 5-ПОЛИФТОРАЛКИЛ- И 5-ПОЛИФТОРАЛКОКСИМЕТИЛ-2'-ДЕЗОКСИПИРИМИДИНОВЫХ НУКЛЕОЗИДОВ

Мельник С. Я., Бахмедова А. А., Ворновицкая Г. И.,  
Добрынин Я. В., Николаева Т. Г., Иванова Т. Н.,  
Ярцева И. В., Преображенская М. Н.

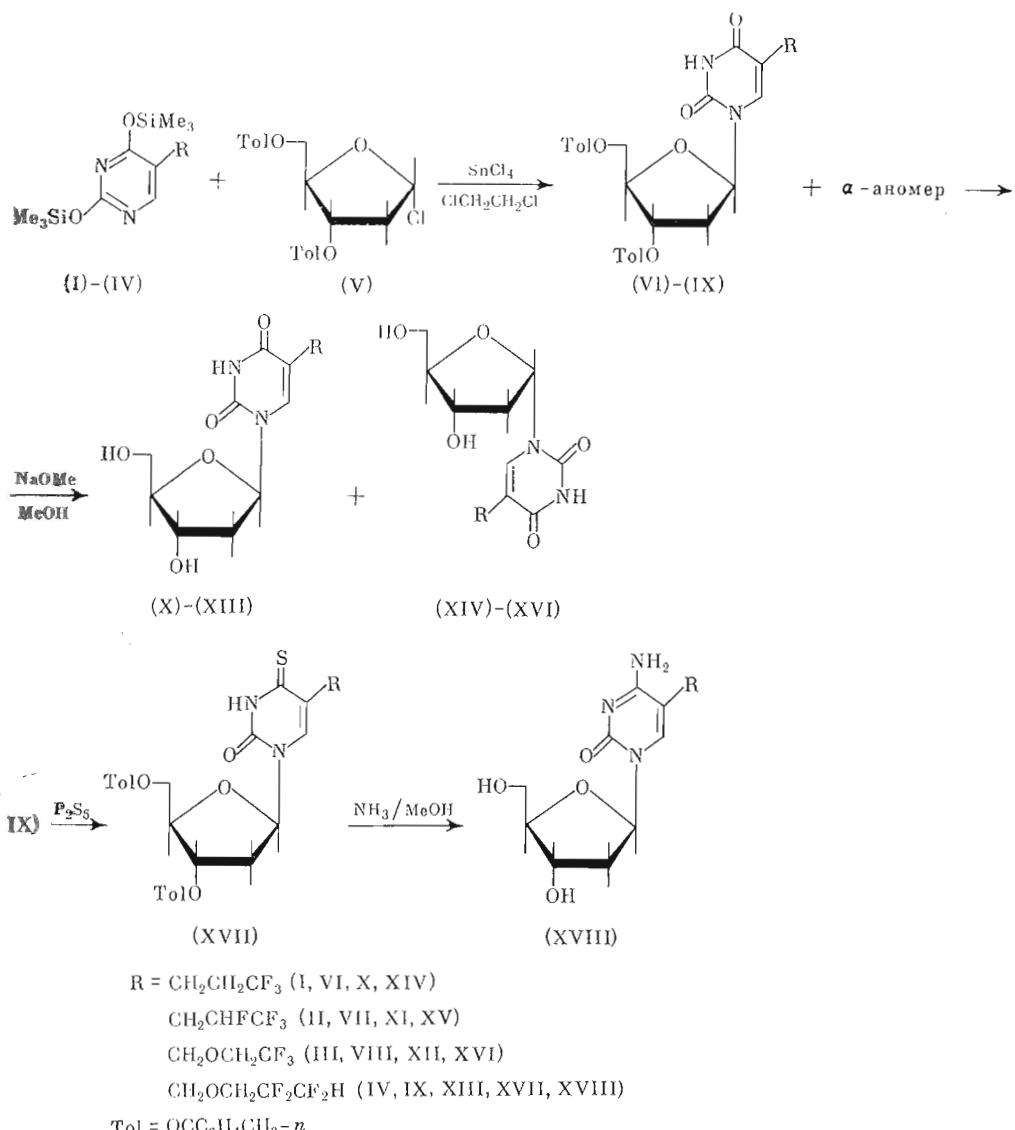
Оncологический научный центр Академии медицинских наук СССР, Москва

Взаимодействием 2-дезокси-3,5-ди-O-n-толуил- $\alpha$ -D-рибофуранозилхлорида и trimethylsilylных производных 5-замещенных урацилов и последующим дезацилированием получены 2'-дезоксиурииды, содержащие в положении 5 полифторалкильные и полифторалкооксиметильные заместители. Тионированием и последующим аминированием 1-(2'-дезокси-3',5'-ди-O-n-толуил- $\beta$ -D-рибофуранозил)-5-(2,2,3,3-тетрафторпропоксиметил)урацила синтезировано производное цитозина. Показано, что полученные соединения не влияют на активность тимидинкиназы из селезенки крыс, а также на синтез ДНК в культуре клеток рака яичника.

Изучение 5-замещенных дезоксиуридинов — аналогов тимидина представляет интерес, так как они являются потенциальными ингибиторами тимидинкиназы и тимидилатсинтетазы — ферментов-мишеней при поиске веществ с цитотоксической активностью. С этой целью мы синтезировали 2'-дезоксиурииды, содержащие в положении 5 полифторалкильные и полифторалкооксиметильные заместители, и изучили их способность влиять на фосфорилирование тимидина, катализируемое тимидинкиназой, а также на включение [<sup>3</sup>H]тимидина в ДНК клеток карциномы яичника *CaOv*.

Взаимодействием силилированных урацилов (I) — (IV) [1, 2] с 2-дезокси-3,5-ди-O-n-толуил- $\alpha$ -D-рибофуранозилхлоридом (V) [3] в ди-хлорэтане в присутствии SnCl<sub>4</sub> получали защищенные 2-дезоксирибозиды (VI) — (IX), выделенные препартивной ТСХ с выходом 40—60% (см. схему). В случае 5-(2,2,3,3-тетрафторпропоксиметил)урацила (IV) выделено индивидуальное соединение (IX). Защищенные нуклеозиды (VI) — (VIII) по данным ПМР являются смесью  $\alpha$ - и  $\beta$ -аномеров. Снятие толуильных защитных групп проводили действием метилата натрия в метаноле. Образующиеся аномерные нуклеозиды (X) — (XVI) разделяли препартивной ТСХ. Соединение (IX) по известной методике [4] переводили в тионпроизводное (XVII), которое действием аммиака в метаноле превращали в 5-замещенный 2'-дезоксицитидин (XVIII). Выход и характеристики синтезированных соединений приведены в табл. 1.

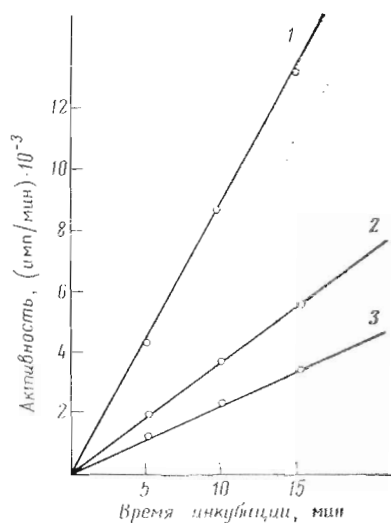
Положение остатка дезоксирибозы в полученных нуклеозидах при атоме азота N1 пиридинового кольца подтверждено сохранением мак-



сумма поглощения в УФ-спектрах при переходе от pH 7 к pH 11 [5]. Конфигурация аномеров отнесена на основании данных спектров КД (табл. 1) и ПМР (табл. 2). В спектрах КД синтезированных  $\beta$ -аномеров, как и в случае природных пиримидиновых нуклеозидов, имеется положительный, а у  $\alpha$ -аномеров — отрицательный максимум поглощения в области 270 нм. В спектрах ПМР  $\beta$ -аномеров сигналы протонов 1'-Н вследствие совпадения вицинальных констант спин-спинового взаимодействия  $J_{1',2'}$  и  $J_{1',2''}$  имеют вид триплетов с шириной  $\sim 13$  Гц, в то время как для  $\alpha$ -аномеров это квартеты с шириной  $\sim 10$  Гц, что согласуется с литературными данными [6]. В случае соединений (XII) и (XVI) имеется также различие в характере расщепления сигналов протонов 2'-Н и 2''-Н — две группы сигналов при  $\sim 2$  и  $\sim 2,6$  м. д. для  $\alpha$ -аномера, мультиплет при  $\sim 2,3$  м. д. для  $\beta$ -аномера. Для соединений (XIII) и (XVIII) характер расщепления сигналов протонов 2'-Н и 2''-Н такой же, как для  $\beta$ -аномера (XII). Отмеченная особенность наблюдается и для пар аномеров (X), (XIV) и (XI), (XV), несмотря на частичное перекрывание

сигналов протонов при 2'-С-атоме с сигналом протонов фторалкильной группы.

Биологическая активность синтезированных нуклеозидов была изучена в ферментной системе тимидинкиназы из селезенки крысы с гепатомой. Для известных конкурентных ингибиторов тимидинкиназы — 5-иод-, 5-бром- и 5-фтор-2'-дезоксиуридины в этой системе были определены следующие значения констант ингибирования:  $1,2 \cdot 10^{-4}$ ,  $1,4 \cdot 10^{-4}$  и  $2,0 \cdot 10^{-3}$  М соответственно. Определение конкурентной кинетики при добавлении в реакционную среду 5-бром-2'-дезоксиуридина показано на рисунке. Соединения (X) — (XVI) и (XVIII) не влияли на активность тимидинкиназы. Цитотокическое действие полученных соединений в сравнении с 5-галоид-2'-дезоксиуридинами изучено на молослойных культурах клеток *CaOv* карциномы яичника человека. Показано, что для 5-иод-, 5-бром- и 5-фтор-2'-дезоксиуридина СЕ<sub>50</sub> составляет 0,3, <1 и 60 мкг/мл соответственно. Для соединений (X) — (XI) и (XVIII) СЕ<sub>50</sub> > 50 — 70 мкг/мл.



Влияние 5-бром-2'-дезоксиуридина на активность тимидинкиназы: 1 — контроль, 2 — 0,08 мкмоль, 3 — 0,16 мкмоль

Таблица 1

Характеристики синтезированных соединений

Соединение	Выход, %	Т. пл., °C	Найдено, %			Формула	Вычислено, %		
			C	H	F		C	H	F
(IX)	54,7	163—164	57,81	5,16	14,29	C <sub>29</sub> H <sub>28</sub> F <sub>4</sub> N <sub>2</sub> O <sub>8</sub>	57,24	4,64	12,49
(X)	36,5	164—165	44,50	4,75	17,34	C <sub>12</sub> H <sub>15</sub> F <sub>3</sub> N <sub>2</sub> O <sub>5</sub>	44,45	4,66	17,58
(XI)	20,7	149—150	42,00	4,45	21,95	C <sub>12</sub> H <sub>14</sub> F <sub>4</sub> N <sub>2</sub> O <sub>5</sub>	42,18	4,12	22,21
(XII)	20,5	155—156	42,53	5,23	—	C <sub>12</sub> H <sub>15</sub> F <sub>3</sub> N <sub>2</sub> O <sub>6</sub>	42,36	4,44	16,75
(XIII)	41,8	121—122	41,90	4,34	19,97	C <sub>13</sub> H <sub>16</sub> F <sub>4</sub> N <sub>2</sub> O <sub>6</sub>	41,94	4,33	20,41
(XIV)	23,0	111—112	44,03	4,84	17,43	C <sub>12</sub> H <sub>15</sub> F <sub>3</sub> N <sub>2</sub> O <sub>5</sub>	44,45	4,66	17,58
(XV)	7,6	50—51	41,22	4,38	21,84	C <sub>12</sub> H <sub>14</sub> F <sub>4</sub> N <sub>2</sub> O <sub>5</sub> · 1/3H <sub>2</sub> O	41,39	4,26	21,83
(XVI)	29,5	44—45	42,54	5,13	—	C <sub>12</sub> H <sub>15</sub> F <sub>3</sub> N <sub>2</sub> O <sub>6</sub>	42,36	4,44	16,75
(XVIII)	30,8	--	39,99	4,83	20,28	C <sub>13</sub> H <sub>17</sub> F <sub>4</sub> N <sub>3</sub> O <sub>5</sub> · 1/2H <sub>2</sub> O	40,11	4,91	19,52

Соединение	УФ-спектр		КД-спектр		ИК-спектр	
	λ <sub>макс</sub> , нм	ε	λ <sub>макс</sub> , нм	[θ] · 10 <sup>-3</sup>	v, см <sup>-1</sup>	
(IX)	240	9200	—	—	3200, 1725, 1690	
(X)	264	9200	275	+8,58	3450, 3200, 1710(м)	
(XI)	265	9100	274	+9,57	3470, 3230, 1750, 1690	
(XII)	264	10700	270	+9,26	3380, 3200, 1725, 1660	
(XIII)	264	8800	273	+6,08	3450, 3200, 1730, 1670	
(XIV)	266	9200	274	-6,93	3500, 3200, 1715(м)	
(XV)	266	8400	274	-6,93	3450, 3200, 1710(м)	
(XVI)	265	9800	270	-8,26	3430, 3200, 1695, 1675	
(XVIII)	274	6400	—	—	3400, 3220, 1665, 1610	

Таблица 2

Спектры ПМР синтезированных соединений ( $\text{CD}_3\text{OD}$ , 30°)

Соединение	Химический сдвиг, $\delta$ , м. д. ( $J$ , Гц)			
	$^{1'}\text{-H}$ ( $J_{1', 2'}$ )	Другие протоны углеводной части	6-Н	Протоны фторалкильной или фторалкоксметильной группы
(IX) *	6,35 **	3'-Н 5,55; 4'-Н, 5'-НН 4,43–4,75; 2'-НН, 2CH <sub>3</sub> 2,35	7,56	CF <sub>2</sub> Н 5,85** ( $J_{\text{HF}_{\text{рем}}}$ 53,0, $J_{\text{HF}_{\text{внц}}}$ 5,0); 5-CH <sub>2</sub> 4,04, OCH <sub>2</sub> 3,68 ( $J_{\text{HF}_{\text{внц}}}$ 12,6, $^4J_{\text{HF}}$ 1,6)
(X)	6,26 (6,5)	2'-НН 2,1–2,7 **, 3'-Н 4,45; 4'-Н 3,94; 5'-НН 3,80	7,95	**
(XI)	6,26 (6,5)	2'-НН 2,0–2,4; 3'-Н 4,46; 4'-Н 3,95; 5'-НН 3,80	8,05	2,5–3,4
(XII)	6,22 (6,6)	2'-НН 2,1–2,4; 4'-Н 4,34; 5'-НН 3,60–4,1 **	8,09	5-CH <sub>2</sub> 4,34; CH <sub>2</sub> CF <sub>3</sub> **
(XIII)	6,22 (6,5)	2'-НН 2,2–2,4; 3'-Н, 4'-Н, 5'-НН 3,6–5,1 **	8,06	CF <sub>2</sub> Н 6,12 ( $J_{\text{HF}_{\text{рем}}}$ 53, $J_{\text{HF}_{\text{внц}}}$ 6,0); CH <sub>2</sub> OCH <sub>2</sub> **
(XIV)	6,20 (7,0; 3,0)	2'-Н 2,08; 2''-Н 2,4–2,8 **; 4'-Н 4,36; 5'-НН 3,62	7,84	**
(XV)	6,20 (6,5; 2,0)	2'-Н 2,08; 2''-Н 2,4–3,4 **; 3'-Н, 4'-Н 4,34; 5'-НН 3,60	7,92	**
(XVI)	6,18 (7,2; 2,5)	2'-Н 2,66; 2''-Н 2,08 ( $J_{2', 3'} 6,0$ ; $J_{2'', 3'} \sim 0$ ; $J_{1\text{H}}$ 15,0); 4'-Н 4,2–4,54 **, 5'-НН 3,56	7,98	5-CH <sub>2</sub> **; CH <sub>2</sub> CF <sub>3</sub> 3,92 ( $J_{\text{HF}}$ 12,0)
(XVIII)	6,21	2'-Н 1,96–2,60; 4'-Н, 5'-НН 3,5–4,12 **	8,16	CF <sub>3</sub> Н 6,13 ( $J_{\text{HF}_{\text{рем}}}$ 53,0, $J_{\text{HF}_{\text{внц}}}$ 5,0) 5-CH <sub>2</sub> 4,43; CH <sub>2</sub> F**

\* Спектр записан в  $\text{CDCl}_3$ .

\*\* Сигналы перекрываются.

## Экспериментальная часть

Спектры ПМР записаны на приборе JNM-MH-100 (Япония), внутренний стандарт — тетраметилсилан. УФ-спектры получены на регистрирующем спектрофотометре Unicam SP-800 (Англия), толщина кюветы 1 см, растворитель — 96% спирт; ИК-спектры записаны на приборе UR-10 (ГДР) в таблетках с КBr. Измерения кругового диахроизма проведены на диахромографе Rousell-Jouan II (Франция) в 96% спирте, толщина кюветы 1 см. Для тонкослойной хроматографии использовали силуфол UV<sub>254</sub> (Kavalier, ЧССР), препаративную хроматографию проводили на стеклянных пластинах (20 × 20 см), применяя силикагель LSL<sub>254</sub> 5–40 мкм (Chemapol, ЧССР) при толщине слоя 1 мм и смеси растворителей: хлороформ—метанол, 10 : 1 (A); этилацетат — метанол, 9 : 1 (B); хлороформ — метанол, 4 : 1 (B). Для выделения тимидинкиназы использовали крыс-самцов породы Вистар. На 5-й день после перевивки асцитной гепатомы Зайделя крыс забивали декапитацией. Селезенку извлекали, промывали холодным физиологическим раствором и измельчали, проплавливая через металлическое сито. Тканевую массу в соотношении 100 мг/мл сусpendingировали в 0,05 М трис-НCl-буфере, pH 8,0, содержащем 0,25 М сахарозу и 0,15 М KCl, и гомогенизировали в стеклянном гомо-

тенизаторе Поттера. Гомогенат при охлаждении последовательно центрифугировали 10 мин при 2000 об/мин для осаждения ядер, 15 мин при 15 000 об/мин для осаждения митохондрий и 2 ч при 105 000 g для отделения микросомальной фракции. Полученный цитозоль фракционировали насыщенным раствором сульфата аммония до 30% насыщения. Осадок белка центрифугировали 15 мин при 15 000 об/мин и суспендировали в 0,05М трис-HCl-буфере, pH 8,0, с 10<sup>-3</sup> М меркаптоэтанолом. Полученную фракцию белка использовали для определения активности тимидинкиназы. Активность фермента определяли по превращению [<sup>14</sup>C]тимидина в [<sup>14</sup>C]ТМР с последующим разделением продуктов реакции на DEAE-целлюлозной бумаге. Реакционная среда содержала в объеме 0,5 мл: трис-HCl (pH 8,0) — 50, ATP — 5, MgCl<sub>2</sub> — 1,5, NaF — 15 мкмоль, [<sup>14</sup>C]тимидин — 0,1 мкмоль (50 мКи/ммоль) и 200—300 мкг белка. Пробы инкубировали в ультратермостате при 37°. Реакцию останавливали, помещая пробы в водяную баню при 100° на 3 мин. После осаждения белка центрифугированием 0,01 мл инкубационной смеси наносили на диски (2 × 2 см) ионообменной бумаги DE-81. Дальнейшую обработку дисков и подсчет радиоактивности [<sup>14</sup>C]ТМР проводили как описано для UMP [7]. Измерения включения [<sup>3</sup>H]тимидина в ДНК клеток линии *CaOv* проводили с помощью сцинтиляционного счетчика фирмы Intertechnique (Франция).

*1-(2'-дезокси-3',5'-ди-O-n-толуил-D-рибофуранозил)-5-полифторалкил- и -5-полифторалкоксиметиурацилы (VI) — (IX).* Смесь, состоящую из 6,2 ммоль 5-замещенного урацила (I) — (IV), 1,5 мл сульфата аммония и 4,5 мл гексаметилдисилазана, кипятили 14 ч. Избыток гексаметилдисилазана отгоняли в вакууме, остаток растворяли в 6 мл сухого дихлорэтана и прибавляли к суспензии 5,8 ммоль 2-дезокси-3,5-ди-O-n-толуил- $\alpha$ -D-рибофуранозилхлорида (V) и 1,72 ммоль SnCl<sub>4</sub> в 6 мл сухого дихлорэтана. Реакционную смесь перемешивали 4 ч при 20°, затем промывали последовательно насыщенным раствором бикарбоната натрия (2 × 5 мл) и водой. Растворитель отгоняли в вакууме, ацилированные дезоксирибозиды (VI) — (IX) выделяли препаративной ТСХ в системе А.

*Аномерные 1-(2'-дезокси-D-рибофуранозил)-5-полифторалкил- и -5-полифторалкоксиметиурацилы (X) — (XVI).* Ацилированный дезоксирибозид (VI) — (IX) (1 ммоль) растворяли в 10 мл 1 н. метилата натрия в метаноле и перемешивали 1 ч при 20°. Реакционную смесьнейтрализовали дауэком-50 (H<sup>+</sup>) до pH 7 по универсальному индикатору, смолу отделяли, растворитель отгоняли в вакууме, к остатку прибавляли 20 мл воды, экстрагировали эфиrom (2 × 10 мл). Водный раствор упаривали, остаток сушили в вакууме над P<sub>2</sub>O<sub>5</sub>. Аномеры разделяли препаративной ТСХ в системе Б при двукратном пропускании растворителей через пластину.

*1-(2'-дезокси-3',5'-ди-O-n-толуил- $\beta$ -D-рибофуранозил)-4-тио-5-(2,2,3,3-тетрафторпропоксиметил)урацил (XVII).* К раствору 0,5 г (0,82 ммоль) соединения (IX) в 20 мл сухого диоксана прибавляли 0,3 г P<sub>2</sub>S<sub>5</sub> и нагревали при кипении 45 мин, затем добавляли 0,2 г P<sub>2</sub>S<sub>5</sub> и кипятили еще 45 мин. Реакционную смесь охлаждали, фильтровали и упаривали до суха. Остаток обрабатывали 10 мл воды (60°), экстрагировали хлороформом (3 × 10 мл). Объединенные экстракти промывали последовательно 5% раствором NaHCO<sub>3</sub> и водой, упаривали досуха, остаток очищали препаративной ТСХ в системе А. Выход соединения (XVII) 0,2 г (39,2%),  $\lambda_{\text{макс}}$  330 нм.

*1-(2'-дезокси- $\beta$ -D-рибофуранозил)-5-(2,2,3,3-тетрафторпропоксиметил)цитозин (XVIII).* Раствор 0,43 г (0,69 ммоль) соединения (XVII) в 22 мл сухого метанола, насыщенного при 0° газообразным амиаком, нагревали в стальной ампуле 17 ч при 100°. Реакционную смесь охлаждали, фильтровали, растворитель отгоняли в вакууме, остаток (0,26 г) хроматографировали на пластине с эпоксидагелем в системе В. Выход соединения (XVIII) 0,08 г (30,8%).

*Действие соединений (X)–(XVI), (XVIII) и 5-галоид-2'-дезоксиуридинов на активность тимидинкиназы.* [ $^{14}\text{C}$ ]тимидин добавляли в реакционную среду в концентрации полунасыщения фермента субстратом 0,1 мкМ, 5-галоид-2'-дезоксиуридины — в концентрации 0,08–0,5 мкМ, т. е. примерно в равной или 5-кратной по отношению к субстрату. Концентрация соединений (X)–(XVI) и (XVIII) 5–10-кратная по отношению к субстрату. Методом отбора проб исследовали кинетику реакции по начальной скорости в течение 5, 10 и 15 мин инкубации. Константы ингибирования рассчитывали по концентрации, вызывающей 50% торможение реакции.

*Изучение цитотоксического действия соединений (X)–(XVI), (XVIII) и 5-галоид-2'-дезоксиуридинов в клеточной тест-системе.* Критерием цитотоксического действия служило изменение уровня включения [ $^{3}\text{H}$ ]тимицина в ДНК клеток через 24 ч после внесения в культуру исследуемых соединений. Полученные результаты выражали в процентах от контроля. Путем пробит-анализа кривых зависимости эффекта от концентрации с учетом 95% доверительного интервала графически определяли величину  $\text{CE}_{50}$ .

#### ЛИТЕРАТУРА

- Герман Л. С., Полищук В. Р., Преображенская М. Н., Мельник С. Я., Кирщеня Л. М. (1974) Химия гетероциклических соед., 859–860.
- Мельник С. Я., Бахмедова А. А., Преображенская М. Н., Платонова Г. Н., Лесная И. А., Софьина З. П. (1976) Ж. орган. химии, 12, 652–655.
- Hoffer M. (1960) Chem. Ber., 93, 2477–2481.
- Watanabe K. A., Chiu T. M., Hollenberg D. H., Fox J. J. (1974) J. Org. Chem., 39, 2482–2486.
- Winkley M. W., Robins R. K. (1968) J. Org. Chem., 33, 2822–2827.
- Townsend L. B. (1973) in: Synthetic Procedures in Nucleic Acid Chemistry (Zorbach W. W., Tipson R. S., eds.), vol. 2, pp. 336–337, John Wiley and Sons, Inc., N. Y.
- Мельник С. Я., Бахмедова А. А., Софьина А. В., Ворновитская Г. И., Дубивицкая И. Г., Преображенская М. Н. (1976) Биоорганическая химия, 2, 1520–1525.

Поступила в редакцию  
3.VII.1978

#### SYNTHESIS AND INVESTIGATION OF 5-POLYFLUOROALKYL AND 5-POLYFLUOROALKOXYMETHYL-2'-DEOXPYRIMIDINE NUCLEOSIDES

MELNIK S. Ya., BAKHMEDOVA A. A., VORNOVITSKAYA G. I., DOBRYNNIN Ya. V., NIKOLAEVA T. G., IVANOVA T. P., YARTSEVA I. V., PREOBRAZHENSAYA M. N.

Cancer Research Center, Academy of Medical Sciences of the USSR, Moscow

Interaction of 2-deoxy-3,5-bis-(*p*-tolyl)- $\alpha$ -D-ribofuranosylchloride with trimethylsilyl derivatives of 5-substituted uracils and subsequent deacylation gave 2'-deoxyuridines containing 5-polyfluoroalkyl and 5-polyfluoroalkoxymethyl substituents.  $\alpha$ - and  $\beta$ -anomers were separated by preparative TLC. Thionation and subsequent amination of 1-(2'-deoxy-3',5'-bis-O-*p*-tolyl- $\beta$ -D-ribofuranosyl)-5-(2,2,3,3-tetrafluoropropoxymethyl)uracil led to the corresponding cytosine derivative. It was shown that compounds obtained did not affect the activity of thymidylate kinase from rat spleen as well as the DNA synthesis in *Cancer ovarian* cell culture.